

УДК 533.15:536.25

## НЕУСТОЙЧИВОСТЬ МЕХАНИЧЕСКОГО РАВНОВЕСИЯ И КОНЦЕНТРАЦИОННАЯ ГРАВИТАЦИОННАЯ КОНВЕКЦИЯ ПРИ ДИФфуЗИОННОМ СМЕШЕНИИ В БИНАРНЫХ И МНОГОКОМПОНЕНТНЫХ ГАЗОВЫХ СМЕСЯХ

Н. Б. Анкушева<sup>1</sup>, Г. Акылбекова<sup>1</sup>, Ю. И. Жаврин<sup>2</sup>, В. Н. Косов<sup>1</sup>

<sup>1</sup> Казахский Национальный Педагогический Университет им. Абая, Алматы, Республика Казахстан

<sup>2</sup> Казахский Национальный Университет им. аль-Фараби, Алматы, Республика Казахстан

### Введение

В изотермической бинарной газовой смеси неустойчивость механического равновесия может возникнуть только в том случае, когда более тяжелый по плотности газ находится сверху [1, 2]. Тогда в смеси в результате действия Архимедовой силы возникает конвекция: тяжелый газ начинает опускаться, а легкий – подниматься, и эта конвекция продолжается до тех пор, пока легкий газ не окажется сверху. Если же сверху будет находиться легкий газ, то конвекция не возникает.

Добавление в смесь третьего компонента, так же как и помещение смеси в неоднородное температурное поле, может при определенных условиях привести к срыву устойчивости механического равновесия и возникновению конвекции даже при устойчивой стратификации плотности [3]. Этот эффект объясняется тем, что в отличие от бинарной изотермической системы, в изотермической тройной или в неизотермической бинарной системах конвективные потоки вызываются не одним концентрационным градиентом, а двумя, второй градиент будет являться либо концентрационным, либо тепловым.

### Экспериментальные данные и методика эксперимента

Опыты по изучению неустойчивости проводились на установке двухколбового метода [4-7] (рис. 1). Две колбы одинакового объема были соединены вертикальным каналом. Давление в колбах поддерживалось одинаковым. Методика проведения опытов соответствовала классической схеме. Открывался соединяющий колбы капилляр, затем перекрывался через определенное время, и регистрировался состав смеси в обеих колбах. Полученные в эксперименте концентрации нормировались на вычисленные в предположении диффузии.



Рис. 1. Схема диффузионной ячейки: а) бинарная смесь; б) тройная смесь

**Бинарная смесь.** В верхней колбе находится газ (или смесь газов) по плотности превосходящий компонент, расположенный в нижней колбе (рис. 1а). Температура нижней колбы больше, чем верхней.

На рис. 2а приведены типичные зависимости полученного таким образом параметра  $\alpha = c_{\text{exp}}/c_{\text{teor}}$  от давления для системы  $0,4\text{Ar} + 0,6\text{N}_2 - 0,6\text{Ar} + 0,4\text{N}_2$ . Здесь и далее будем обозначать точки, соответствующие диффузии, незатемненными значками  $\square$ , а конвекции – темными  $\blacksquare$ , числа стоящие перед химическими элементами определяют мольную долю компонента. Из рисунка видно, что при некотором давлении  $p_* \approx 1,4$  МПа параметр  $\alpha$  превышает единицу. Механическое равновесие смеси становится неустойчивым. Возникает конвекция. Проведенные в [4-7] исследования показали, что такой переход определяется следующими критическими параметрами: давлением, разностью температур, геометрическими характеристиками канала и его ориентацией относительно вертикали, вращением диффузионной ячейки.

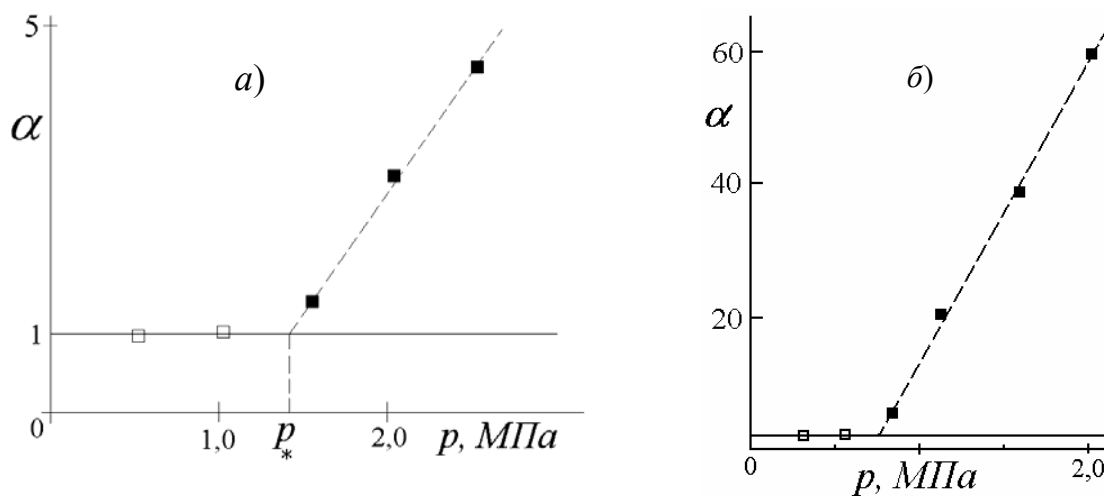


Рис. 2. Зависимость параметра  $\alpha$  от давления (газ – аргон): а) бинарная смесь  $0,4\text{Ar} + 0,6\text{N}_2 - 0,6\text{Ar} + 0,4\text{N}_2$  температура верхней колбы – 288 К, нижней – 343 К; б) тройная смесь  $0,35\text{He} + 0,65\text{Ar} - \text{N}_2$ ,  $T = 293,0$  К

**Тройная смесь.** В верхней колбе находилась бинарная смесь легкого и тяжелого компонента. Средний по плотности газ размещался в нижней колбе (рис 1б). В отличие от случая, рассматривающего смешение в бинарных системах, концентрации легкого и тяжелого компонентов подбирались такими, чтобы смесь в верхней колбе была всегда меньшей плотности, чем находящаяся в нижней ( $\nabla\rho < 0$ ). На рис. 2б приведены типичные зависимости полученного таким образом параметра  $\alpha$  от давления для системы  $0,35\text{He} + 0,65\text{Ar} - \text{N}_2$ . Из рисунка видно, что при определенном критическом давлении параметр  $\alpha$  превышает единицу, то есть механическое равновесие смеси становится неустойчивым. Возникает аномальная концентрационная гравитационная конвекция. Проведенные в [3-7] исследования показали, что переход из области диффузии в область конвективного смешения определяется следующими критическими параметрами: давлением, температурой, вязкостью смеси, ее исходным составом, различием в коэффициентах диффузии компонентов, геометрическими характеристиками канала и его ориентацией относительно вертикали.

Для визуальной регистрации границы перехода использовался метод теней Теплера, основанный на том, что лучи света в турбулентных слоях преломляются по-разному.

Прямоугольный в сечении с прозрачными стенками канал освещался пучком света. Позади канала на экране регистрировалась неоднородная освещенность, изменяемая во времени. Конструкция аппарата также позволяла наблюдать за конвективными течениями в колбах аппарата. Также смену конвективных режимов можно регистрировать с помощью малоинерционных датчиков, определяющих локальную теплопроводность газа. Так как теплопроводность газовой смеси зависит от концентраций компонентов, то это дает нам возможность следить за их изменением во времени и таким образом определить характерные периоды наблюдаемых режимов (рис. 3).



Рис. 3. Изменение теплопроводности смеси со временем, иллюстрирующее смену режимов конвекции

При изучении конвекции в изотермических трехкомпонентных газовых системах в области параметров значительно превышающих критические [8, 9] были обнаружены эффекты, не присущие случаю смешения в бинарных смесях:

- При варьировании диаметром канала и давлением на ряде смесей наблюдаются кривые  $\alpha(p)$  с двумя максимумами (рис. 4);
- Для систем с  $\nabla\rho=0$ , конвекция возбуждается как при одном положении исследуемых смесей в колбах аппарата, так и при перевернутом;
- При измерении состава не только на первом этапе перемешивания, но и на последующих регистрируются несколько переходов от диффузии к конвекции и обратно.

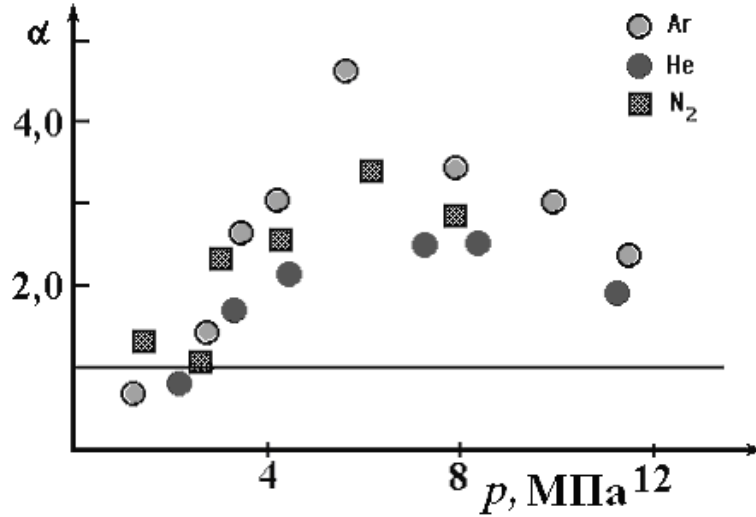


Рис. 4. Значения  $\alpha$  для различных компонентов смеси 0,47 He + 0,53 Ar – N<sub>2</sub>, T = 293,0 К

### Теоретический анализ на устойчивость механического равновесия

Предсказать границы перехода «диффузия - конвекция» возможно в рамках анализа на конвективную устойчивость системы уравнений гидродинамики [1, 3, 10, 11]:

$$\begin{aligned}
 \rho \left[ \frac{\partial \vec{u}}{\partial t} + (\vec{u} \nabla) \vec{u} \right] &= -\nabla p + \eta \nabla^2 \vec{u} + \left( \frac{\eta}{3} + \xi \right) \nabla \operatorname{div} \vec{u} + \rho \vec{g}, \\
 \frac{\partial \rho}{\partial t} + \operatorname{div}(\rho \vec{u}) &= 0, & \rho \left( \frac{\partial c_i}{\partial t} + \vec{u} \nabla c_i \right) &= -\operatorname{div} \vec{j}_i, \\
 \rho T \left( \frac{\partial S}{\partial t} + \vec{u} \nabla S \right) &= -\operatorname{div} \vec{q} + \mu \sum_i \operatorname{div} \vec{j}_i, & (1) \\
 \vec{j}_1 &= -\rho (D_{11}^* \nabla c_1 + D_{12}^* \nabla c_2), & \vec{j}_2 &= -\rho (D_{21}^* \nabla c_1 + D_{22}^* \nabla c_2), \\
 \sum_{i=1}^3 \vec{j}_i &= 0, & \sum_{i=1}^3 c_i &= 1.
 \end{aligned}$$

Здесь  $\rho$  – плотность,  $\vec{u}$  – скорость,  $t$  – время,  $p$  – давление,  $\eta$  и  $\xi$  – коэффициенты сдвиговой и объемной вязкости,  $\vec{g}$  – ускорение силы тяжести,  $c_i$  – концентрация  $i$ -го компонента,  $S$  – энтропия,  $T$  – температура,  $\vec{q}$  – тепловой поток,  $\vec{j}$  – диффузионный поток,  $\mu$  – эффективный химический потенциал,  $D_{ij}^*$  – матричный коэффициент многокомпонентной диффузии.

Уравнения (1) дополняются уравнением состояния среды  $\rho = \rho(c_i, p, T)$

Упростим (1) следующим образом:

- применяем метод малого параметра;
- линеаризуем систему уравнений;
- выберем следующие масштабные единицы измерения:  $d$  – расстояния,  $d^2/\nu$  – времени,  $D_{22}^*/d$  – скорости,  $A_i d$  – концентрации,  $\rho_0 \nu D_{22}^*/d^2$  – давления,  $Bd$  – температуры;
- ввиду малого перепада температур пренебрежем влиянием перекрестных эффектов.

Систему (1) можно решать как и для плоского слоя, так и для цилиндрического канала.

Для бинарных газовых систем в неоднородном температурном поле уравнения возмущений имеют вид:

$$\begin{aligned} \frac{\partial u}{\partial t} &= \Delta u + Ra_c c + Ra_T T, \\ -\lambda Pr T &= \Delta T + u, \\ -\lambda Pr_c c &= \Delta c + u. \end{aligned} \quad (2)$$

Здесь  $Pr_c = \nu/D_{12}$  – концентрационное число Прандтля,  $Pr = \nu/\chi$  – тепловое число Прандтля,  $\nu = \eta/\rho_0$  – кинематическая вязкость смеси,  $\chi$  – температуропроводность,  $Ra_c = g\beta A d^4/\nu D_{12}$  – концентрационное число Рэлея,  $Ra_T = g\beta_T B d^4/\nu\chi$  – тепловое число Рэлея,  $\beta = -\frac{1}{\rho_0} \left( \frac{\partial \rho}{\partial c} \right)_{p,T}$ ,  $\beta_T = -\frac{1}{\rho_0} \left( \frac{\partial \rho}{\partial T} \right)_{p,c}$ .

Решение (2), по аналогии с [1], для цилиндрического канала бесконечной высоты приводит к определению граничных линий монотонной (ММ) и колебательной (КК) неустойчивостей:

$$Ra_c + Ra_T = 67,95, \quad Pr_c^2 (Pr + 1) Ra_T + Pr^2 (Pr_c + 1) Ra_c = 67,95 (Pr + Pr_c) (Pr + 1) (Pr_c + 1).$$

В координатах  $(Ra_c, Ra_T)$  взаимное расположение линий ММ и КК приведено для случая неизотермического смешения смеси  $0,4 \text{ Ar} + 0,6 \text{ N}_2 - 0,6 \text{ Ar} + 0,4 \text{ N}_2$  (рис. 5) Можно заметить удовлетворительное согласие между опытными и вычисленными данными.

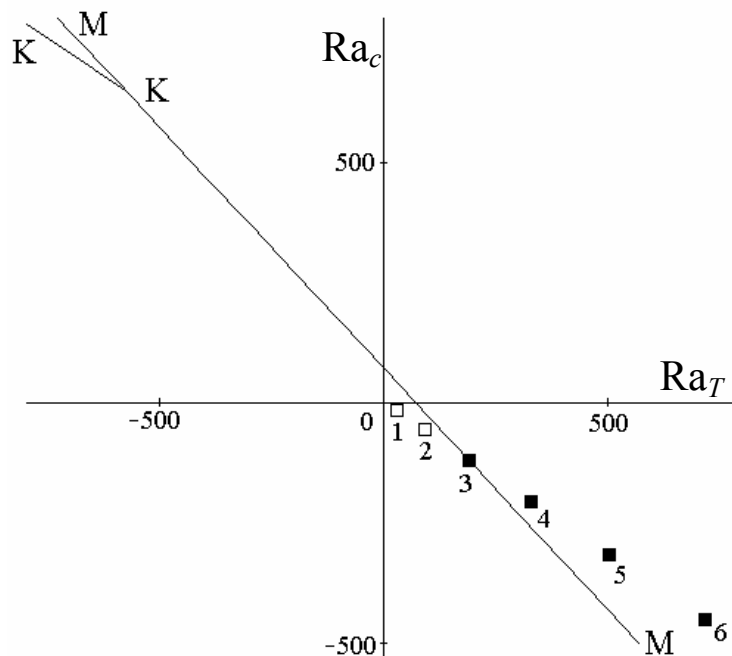


Рис. 5. Граничные линии монотонной ММ и колебательной КК неустойчивостей механического равновесия и экспериментальные данные для системы  $0,4 \text{ Ar} + 0,6 \text{ N}_2 - 0,6 \text{ Ar} + 0,4 \text{ N}_2$ . Температура верхней колбы – 288 К, нижней – 343 К. Точки соответствуют давлениям: 1 – 0,584 МПа, 2 – 1,074 МПа, 3 – 1,565 МПа, 4 – 2,055 МПа, 5 – 2,546 МПа, 6 – 3,036 МПа

Для тройных смесей уравнения возмущений имеют вид [3, 10, 11]:

$$\begin{aligned} \text{Pr}_{22} \frac{\partial c_1}{\partial t} - u &= \tau_{11} \Delta c_1 + \frac{A_2}{A_1} \tau_{12} \Delta c_2, \\ \text{Pr}_{22} \frac{\partial c_2}{\partial t} - u &= \frac{A_1}{A_2} \tau_{21} \Delta c_1 + \Delta c_2, \\ \frac{\partial u}{\partial t} &= \Delta u + Ra_1 \tau_{11} c_1 + Ra_2 c_2. \end{aligned} \quad (3)$$

Здесь  $\text{Pr}_{ii} = \nu / D_{ij}^*$  – число Прандтля,  $Ra_i = g \beta_i A d^4 / \nu D_{ij}^*$  – число Рэлея,  $\tau_{ij} = D_{ij}^* / D_{22}^*$ ,  $A_i \bar{\gamma} = -\nabla c_{i0}$ ,  $\bar{\gamma}$  – единичный вектор.

Условие критичности задает линия  $f(Ra_1, Ra_2) = 0$ . На рис. 6 изображена линия монотонной неустойчивости (ММ), линия равной плотности  $\nabla \rho = 0$ , а также экспериментальные данные.

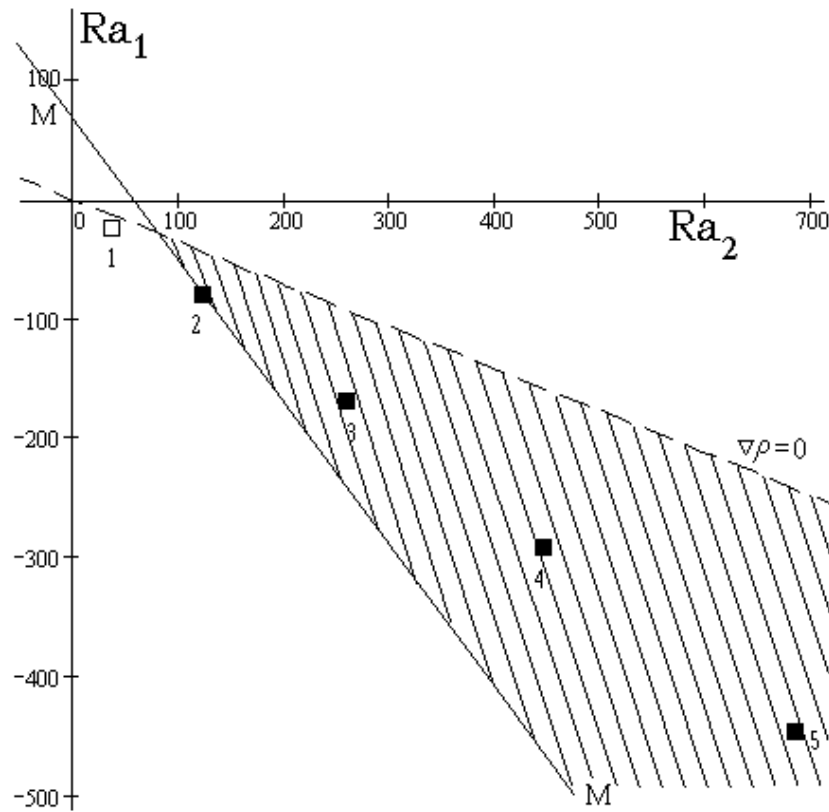


Рис. 6. Граничная линия монотонной ММ неустойчивости, линия равной плотности и экспериментальные данные для системы 0,48 He + 0,52 Ar – N<sub>2</sub>.  $T = 293$  К. Точки соответствуют давлениям: 1 – 0,584 МПа, 2 – 1,074 МПа, 3 – 1,565 МПа, 4 – 2,055 МПа, 5 – 2,546 МПа

Плотность связана с концентрациями  $c_i$  компонентов очевидными соотношениями

$$\begin{aligned} \rho &= n \cdot (c_1 m_1 + c_2 m_2 + c_3 m_3) = n \cdot [c_1 (m_1 - m_3) + \\ &+ c_2 (m_2 - m_3) + m_3] = n \cdot (c_1 \Delta m_1 + c_2 \Delta m_2 + m_3). \end{aligned}$$

Условие обращения в нуль градиента плотности имеет вид

$$d\rho/dz = n \cdot [\Delta m_1 (dc_1/dz) + \Delta m_2 (dc_2/dz)] = 0.$$

В терминах чисел Рэлея это выражение запишем следующим образом:

$$\tau_{11} Ra_1 = -Ra_2$$

В координатах  $(Ra_1, Ra_2)$  это условие определяет прямую линию, проходящую через начало координат (рис. 6). Ниже этой линии  $\nabla\rho < 0$ . Анализ рис. 6 позволяет обнаружить область с отрицательным градиентом плотности, но лежащую выше линий неустойчивости ММ или КК. На рис. 6 эта область заштрихована. Если условия эксперимента подобрать так, что система окажется в данной области, то должна наблюдаться аномальная конвекция.

### Заключение

Пока конвекция в системе вызывается одним градиентом, одним из необходимых условий ее возникновения остается, чтобы плотность в верхней части была больше, чем в нижней. При появлении второго градиента картина меняется. Теперь конвекция может зародиться и при устойчивой стратификации плотности. Линейная теория устойчивости адекватно описывает экспериментальные данные как в случае, если второй градиент является тепловым, так и в том случае, когда он будет концентрационным.

В перспективе планируется переход от плоскости чисел Рэлея к пространству, где вместо линий ММ, КК и  $\nabla\rho = 0$  будут пересекаться плоскости, и изучение появившихся при этом эффектов.

Отдельные этапы работы поддержаны грантами Министерства Образования и Науки Республики Казахстан: №0103РК00617, №0106 РК 00034.

### Используемая литература

- [1] Гершуни Г.З., Жуховицкий Е.М. Конвективная устойчивость несжимаемой жидкости. Наука, Москва, 1972.
- [2] Ландау Л.Д., Лифшиц Е.М. Теоретическая физика. Т. VI., Гидродинамика. Наука, Москва, 1986.
- [3] Косов В.Н., Селезнев В.Д. Аномальное возникновение свободной гравитационной конвекции в изотермических тройных газовых смесях. УрО РАН, Екатеринбург, 2004.
- [4] Kosov V.N., Zhavrin Yu. I., Ankusheva N.B. Anomalous Gravitational Convection And Diffusion In Isothermal Ternary Gas Mixtures. Proceedings of 4<sup>th</sup> International Conference of Computational Heat and Mass Transfer. Paris-Cachan. 2005. Vol. 2. P. 794-799.
- [5] Анкушева Н.Б., Косов В.Н. Влияние наклона диффузионного канала на устойчивость механического равновесия. Вестник КазНУ. Сер. физ. 2006. № 2 (22). С. 68-72.
- [6] Жаврин Ю.И., Косов В.Н., Кульжанов Д.У., Анкушева Н.Б. Неустойчивость механического равновесия изотермических бинарных газовых смесей в наклонном канале. Известия НАН РК. Сер. физ. 2005. № 6. С. 34-39.
- [7] Жаврин Ю.И., Косов В.Н., Кульжанов Д.У., Поярков И.В., Анкушева Н.Б. Влияние частоты вращения диффузионного аппарата на процесс смешения в трехкомпонентной газовой смеси. Письма в ЖТФ. 2003. Т. 29, № 2. С 122-126.

- [8] Жаврин Ю.И., Косов В.Н., Кульжанов Д.У., Каратаева К.К. Монотонная и колебательная неустойчивость механического равновесия в изотермической трехкомпонентной газовой смеси с нулевым градиентом плотности. Известия МОН и НАН РК. 2000. № 6. С. 62-69.
- [9] Жаврин Ю.И., Косов В.Н. Некоторые особенности динамики неустойчивого диффузионного массопереноса в изотермических трехкомпонентных газовых смесях. Теплофизика и аэромеханика. 1995. Т. 2, № 2. С. 139-144.
- [10] Косов В.Н., Селезнев В.Д., Жаврин Ю.И. Колебательная и монотонная неустойчивость на границе перехода «молекулярная диффузия – концентрационная конвекция» в трехкомпонентных газовых смесях. ИФЖ. 2000. Т. 73, № 2. С. 313-320.
- [11] Косов В.Н., Селезнев В.Д., Жаврин Ю.И. О диффузионной неустойчивости в изотермических трехкомпонентных газовых смесях. Теплофизика и аэромеханика. 2000. Т. 7, № 1. С. 127-135.